

شناسایی شرایط مرزی تیر یکسر گیردار در تکیه گاه انعطاف پذیر*

حسن جلالی^(۱) فهیمه نوحتی^(۲)

چکیده سازه های مکانیکی اغلب دارای اتصالات یا شرایط مرزی هستند که دینامیک سازه را تا حد زیادی تحت تأثیر قرار می دهد. مدل سازی دینامیکی سازه های مکانیکی مستلزم شناخت و مدل سازی دقیق اتصالات موجود در سازه و یا شرایط مرزی سازه می باشد. در این مقاله شناسایی سطوح تماس خطی در شرایط مرزی تیر یکسر گیر در تکیه گاه انعطاف پذیر (غیرصلب) مورد بررسی قرار گرفته است. ابتدا روشی بر پایه استفاده از فرکانس های طبیعی برای تعیین پارامتر های شرایط مرزی معرفی می شود. در ادامه دقت روش معروفی شده با استفاده از داده های شبیه سازی شده و داده های تجربی مورد ارزیابی قرار می گیرد. نتایج شناسایی مبین دقت روش مورد استفاده می باشد.

واژه های کلیدی شرایط مرزی؛ تکیه گاه انعطاف پذیر؛ شناسایی پارامترها.

Boundary Condition Identification of a Clamped Beam in the Flexible Support

H. Jalali F. Noohi

Abstract Mechanical structures usually contain joints or boundary conditions which affect their dynamic characteristics. Dynamic modeling of mechanical structures depends upon precise modeling of joints or boundary conditions. In this paper identification of boundary conditions of a clamped beam in flexible (non-rigid) support is considered. An identification approach for support parameters is introduced based on using natural frequencies. Simulated and experimental case studies are used to show the applicability of the introduced model. The results show the accuracy of the proposed method.

Key Words Boundary conditions; flexible support; Parameters identification

*تاریخ دریافت مقاله ۹۴/۶/۱ و تاریخ پذیرش آن ۹۴/۱۱/۲۱ می باشد.

(۱) نویسنده مسئول: دانشیار، دانشکده مهندسی مکانیک، دانشگاه صنعتی اراک. Jalali@arakut.ac.ir

(۲) دانشجوی کارشناسی ارشد، دانشکده مهندسی مکانیک، دانشگاه صنعتی اراک.

مقدمه

از مقادیر سختی و میرایی خطی و پیچشی و با استفاده از تجزیه تابع پاسخ فرکانسی محاسبه شده است. کائو و همکارانش [5] روش شناسایی پارامترهای اتصال تیر یکسرگیردار را براساس مدل‌سازی اجزای محدود و تابع پاسخ فرکانسی ارائه کردند. در این مقاله آنها از یک الگوریتم تکراری براساس حساسیت برای کمینه کردن نرم (Norm) باقی مانده تابع پاسخ فرکانسی و روش حداقل مربعات برای حل معادله تکرارشونده استفاده کردند. هانگ [6] تکنیک‌های شناسایی پارامترهای اتصال سازه را با استفاده از تابع پاسخ فرکانسی ارائه داده است. روش شناسایی ضرایب سختی و میرایی با کمک توابع پاسخ فرکانسی، روی فرکانس‌های طبیعی کار می‌کند، به نحوی که پارامترهای اتصال برای هر فرکانس تعیین می‌شود و با روش‌های آماری از آنها میانگین‌گیری می‌گردد و شناسایی دقیق صورت می‌پذیرد. زانگ و همکارانش [7] به شناسایی پارامترهای اتصال در سازه‌های تیرمانند پرداختند. این مقاله یک روش معکوس را ارائه می‌دهد که برای تخمین اتصال سازه‌های یکبعدی مانند لوله قابل کاربرد است. احمدیان و همکارانش [8] یک روش جدید برای تعیین پارامترهای شرایط مرزی براساس معادله مشخصه کاهش مرتبه یافته ارائه کردند. مرتبه معادله مشخصه غیرخطی برابر با تعداد درجات آزادی در مرز سازه می‌باشد که بخش کوچکی از مرتبه سازه کامل است. درنتیجه میزان محاسبات برای تعیین شرایط مرزی تا حد زیادی کاهش می‌یابد. لی [9] یک روش به‌هنگام‌سازی برپایه استفاده از معادله مشخصه کاهش مرتبه یافته برای تعیین شرایط مرزی سازه‌های تیرمانند ارائه کرد. جلالی [10] روشی براساس استفاده از معادله مشخصه کامل سازه برای تعیین پارامترهای سطوح تماس خطی ارائه نمود. روش ارائه شده با استفاده از نتایج تجربی برای شناسایی پارامترهای اتصالات پیچی خطی مورد استفاده قرار گرفت. در این مقاله روش ارائه شده توسط جلالی [10] برای شناسایی پارامترهای

شرایط مرزی نقش کلیدی در تعیین رفتار دینامیکی و مشخصه‌های مodal سازه‌های مکانیکی دارند. از این‌رو ایجاد مدل‌های دینامیکی دقیق برای شرایط مرزی در تحلیل دینامیکی سازه‌ها از اهمیت زیادی برخوردار است؛ زیرا مدل‌سازی و تحلیل دینامیکی سازه‌های واقعی دارای شرایط مرزی و اتصالات کار ساده‌ای نیست. روش‌های زیادی در گذشته برای شناسایی پارامترهای اتصالات مکانیکی و یا شرایط مرزی ارائه شده است. باید توجه داشت که به‌کارگیری اکثر روش‌های شناسایی پارامتر، مستلزم درک فیزیکی درستی از سازه می‌باشد که خود مستلزم انتخاب پارامترهایی است که خطای مدل‌سازی را کاهش دهد و همچنین پاسخ سازه به این پارامترها حساس باشد.

مطالعات بسیاری در زمینه شناسایی پارامترهای اتصال و شرایط مرزی با روش‌های مختلف و به‌ویژه روش به‌هنگام‌سازی صورت گرفته است. گتو و همکارانش [1] از یک روش برای شناسایی پارامترهای اتصال پیچی استفاده کردند. در روش آنها از شرایط مرزی حاکم بر تیر، معادله مشخصه و فرکانس‌های طبیعی برای شناسایی پارامترهای اتصال استفاده می‌شود. وال و همکارانش [2] یک اتصال تیر-ستون را براساس داده‌های مodal مدل‌سازی و تصحیح کردند. شناسایی پارامترهای اتصال این سازه با کمینه نمودن اختلاف بین فرکانس‌های طبیعی تحلیل اجزای محدود و آزمایش صورت گرفته است. گانت و همکارانش [3] یک مدل ساده‌شده از سختی اتصال را تعریف و به‌هنگام‌سازی کردند. هدف از این کار، تعریف یک مدل خطی ساده از اتصالات استفاده شده در هوافضا و اثبات کارایی این مدل می‌باشد. تول و ازگون [4] یک روش شناسایی تجربی براساس تجزیه تابع پاسخ فرکانسی و الگوریتم بهینه‌سازی برای مدل‌سازی اتصالات ارائه کردند. مشخصه‌های اتصال در ترم‌های

به منظور شناسایی، از مدل‌سازی دینامیکی سازه تیرمانند استفاده می‌شود. در مدل‌سازی ریاضی سازه مذکور که در شکل (۱-ب) نشان داده شده است، قسمت تیری توسط تئوری تیر اویلر-برنولی و اثر تکیه‌گاه انعطاف‌پذیر تیر به صورت ترکیبی از یک فنر پیچشی با سختی k_w حول محور Z و یک فنر خطی با سختی k_w در راستای تغییر شکل عرضی تیر مدل می‌شود. لازم به ذکر است فنرهای خطی و پیچشی به عنوان سختی معادل تکیه‌گاه انعطاف‌پذیر تیر در مدل ریاضی منظور می‌شوند. مشخصات سختی تکیه‌گاه انعطاف‌پذیر بر پاسخ دینامیکی سازه و بهویژه فرکانس‌های طبیعی آن تأثیرگذار است. هدف در این مقاله، شناسایی پارامترهای سختی تکیه‌گاه انعطاف‌پذیر باستفاده از فرکانس‌های طبیعی است. در قسمت بعد مدل‌سازی دینامیکی تیر ارائه می‌شود.

مدل‌سازی دینامیکی

همان‌گونه که پیشتر عنوان شد، در این مقاله شناسایی پارامترهای تکیه‌گاه تیر باستفاده از فرکانس‌های طبیعی آن انجام می‌شود. در این قسمت مدل‌سازی دینامیکی به منظور تعیین فرکانس‌های طبیعی سازه ارائه می‌شود. برای محاسبه فرکانس‌های طبیعی از مدل‌سازی دینامیکی سازه نشان داده شده در شکل (۱-ب) استفاده می‌شود. تئوری تیر اویلر-برنولی برای مدل‌سازی این سازه به کار گرفته شده است. معادله حاکم بر ارتعاش آزاد سازه تیرمانند به صورت زیر نوشته می‌شود:

$$EI \frac{\partial^4 w}{\partial x^4} + \rho A \frac{\partial^2 w}{\partial t^2} = 0 \quad (1)$$

در معادله فوق $w(x, t)$ تغییر شکل عرضی تیر، E مدول الاستیسیته، I ممان دوم سطح مقطع تیر، ρ چگالی حجمی و A مساحت سطح مقطع تیر می‌باشد.

شرایط مرزی تعمیم داده می‌شود. در مقاله مذکور به شناسایی پارامترهای سختی اتصالات پیچی با استفاده از نتایج تجربی پرداخته شده است.

در این مقاله به شناسایی پارامترهای سختی شرایط مرزی با استفاده از نتایج شبیه‌سازی شده و تجربی پرداخته می‌شود. برای این منظور یک تیر با تکیه‌گاه انعطاف‌پذیر مدل‌سازی دینامیکی می‌شود و روابط مربوط به معادله مشخصه آن استخراج می‌شود. با استفاده از معادله مشخصه روشی برای شناسایی پارامترهای شرایط مرزی معرفی می‌شود. به منظور ارزیابی روش معرفی شده، ابتدا از یک سازه شبیه‌سازی شده استفاده می‌شود. فرکانس‌های طبیعی سازه و تخمین ضرایب سختی تکیه‌گاه با استفاده از مدل‌سازی و تحلیل اجزای محدود برای این سازه به دست می‌آیند. با استفاده از فرکانس‌های طبیعی و به کارگیری روش شناسایی معرفی شده، پارامترهای سختی تکیه‌گاه انعطاف‌پذیر شناسایی و با مقادیر تخمین‌زده شده مقایسه می‌شوند. در ادامه برای ارزیابی بیشتر روش معرفی شده از نتایج فرکانس‌های طبیعی به دست آمده از یک سازه واقعی استفاده و مشخصات سختی تکیه‌گاه سازه شناسایی می‌شوند. در قسمت بعد به تشریح صورت مسئله مورد بررسی در این مقاله پرداخته می‌شود.

تشریح صورت مسئله

یک سازه تیرمانند با سطح مقطع مستطیلی که در یک انتهای تکیه‌گاه انعطاف‌پذیر ثابت شده و انتهای دیگر آن آزاد است، مطابق شکل (۱-الف) مورد بررسی قرار می‌گیرد. پارامترهای سختی تکیه‌گاه انعطاف‌پذیر باعث تغییر مشخصه‌های مودال تیرمانند فرکانس‌های طبیعی و شکل مودهای آن می‌شود. بنابراین با استفاده از مشخصه‌های مودال تجربی شبیه‌سازی شده و استفاده از یک روش شناسایی می‌توان پارامترهای سختی تکیه‌گاه را تعیین نمود.

از آنجا که هدف محاسبه فرکانس‌های طبیعی سازهٔ تیرمانند می‌باشد، پاسخ ارتعاش آزاد تیر نشان داده شده در شکل (۱-ب) را می‌توان به صورت $w(x, t) = Y(x) \sin(\omega t)$ در نظر گرفت. در این رابطه $Y(x)$ تابع شکل مود سازهٔ تیرمانند (یعنی تیر به همراه تکیه‌گاه انعطاف‌پذیر) و ω فرکانس طبیعی تیر می‌باشد. با تغییر پارامترهای سختی تکیه‌گاه فرکانس‌های طبیعی ω و شکل مودهای سازهٔ $-Y(x)$ - تغییر می‌کنند. پاسخ ارتعاش آزاد باید معادله حاکم بر نوسان تیر (معادله ۱) و شرایط مرزی (معادلات ۵-۲) را ارضاء کند. با جایگذاری پاسخ ارتعاش آزاد درون معادلات (۵-۱) خواهیم داشت:

$$Y'''(x) - \lambda^4 Y(x) = 0, \quad \lambda^4 = \rho A \omega^2 / EI \quad (6)$$

$$EIY'''(0) + k_w Y(0) = 0 \quad (7)$$

$$EIY''(0) - k_\theta Y'(0) = 0 \quad (8)$$

$$EIY''(L) = 0, \quad EIY'''(L) = 0 \quad (9-10)$$

معادله (۶) معادله حاکم بر شکل مودهای سازهٔ تیرمانند می‌باشد. با حل معادله (۶) تابع شکل مودهای سازهٔ نشان داده شده در شکل (۱-ب) به صورت زیر به دست می‌آید،

$$Y(x) = C_1 \sin(\lambda x) + C_2 \cos(\lambda x) + C_3 \sinh(\lambda x) + C_4 \cosh(\lambda x) \quad (11)$$

تابع شکل مود معرفی شده در رابطه (۱۱) باید شرایط ذکر شده در روابط (۱۰-۷) را برآورده کند. با جایگذاری رابطه (۱۱) درون معادلات (۱۰-۷) به دسته معادلاتی به این شکل می‌رسیم:

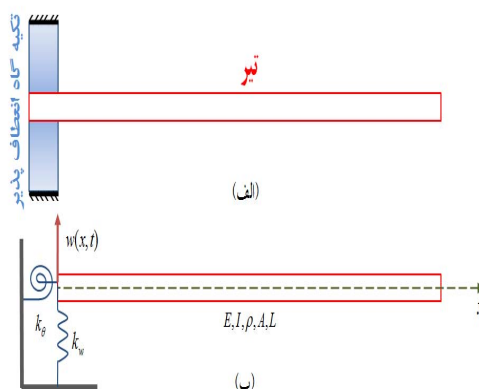
شرط مرزی حاکم بر سازهٔ نشان داده شده در شکل (۱-ب) به صورت زیر می‌باشد:

$$EI \frac{\partial^3 w(x, t)}{\partial x^3} \Big|_{x=0} + k_w w(x, t) \Big|_{x=0} = 0 \quad (2)$$

$$EI \frac{\partial^2 w(x, t)}{\partial x^2} \Big|_{x=0} - k_\theta \frac{\partial w(x, t)}{\partial x} \Big|_{x=0} = 0 \quad (3)$$

$$EI \frac{\partial^2 w(x, t)}{\partial x^2} \Big|_{x=L} = 0, \quad EI \frac{\partial^3 w(x, t)}{\partial x^3} \Big|_{x=L} = 0 \quad (4-5)$$

روابط (۲) و (۳) به ترتیب تعادل نیروهای برشی و گشتاورهای خمشی تیر در محل تکیه‌گاه انعطاف‌پذیر را نشان می‌دهد. چون تغییر شکل تیر در محل تکیه‌گاه بسیار ناچیز می‌باشد، از اثرات اینرسی تکیه‌گاه انعطاف‌پذیر صرف نظر شده است. همان‌گونه که در قسمت‌های بعد بررسی خواهد شد اثرات جرمی تکیه‌گاه انعطاف‌پذیر در مودهای پایین ناچیز و قابل صرف نظر نمودن است.



شکل ۱ (الف) سازهٔ تیرمانند با تکیه‌گاه انعطاف‌پذیر، (ب) مدل ریاضی سازه

از آن جا که در ادامه باستفاده از دترمینان ماتریس $[D(\omega)]$ به شناسایی پارامترها پرداخته می‌شود و به منظور نیل به هدف مورد نظر این مقاله، ابتدا ماتریس $[D(\omega)]$ به شکل زیر نوشته می‌شود،

$$D(\omega) = \bar{D}(\omega) + K_J =$$

$$\begin{bmatrix} -\lambda^3 & 0 & \lambda^3 & 0 \\ 0 & -\lambda & 0 & \lambda \\ -\cos(\lambda L) & \sin(\lambda L) & \cosh(\lambda L) & \sinh(\lambda L) \\ -\sin(\lambda L) & -\cos(\lambda L) & \sinh(\lambda L) & \cosh(\lambda L) \end{bmatrix}$$

$$+ \begin{bmatrix} 0 & k_1 & 0 & k_1 \\ -k_2 & 0 & -k_2 & 0 \\ 0 & 0 & 0 & 0 \\ 0 & 0 & 0 & 0 \end{bmatrix}$$
(13)

ماتریس K_J در معادله (13) از پارامترهای سختی تکیه‌گاه تیر تشکیل شده است و می‌توان آن را با استفاده از حاصل ضرب ماتریس‌های سط्रی و ستونی و به شکل $K_J = k_1 u_1 v_1^T + k_2 u_2 v_2^T$ نوشت که در آن،

$$[u_1 \quad v_1 \quad u_2 \quad v_2] = \begin{bmatrix} 1 & 0 & 0 & 1 \\ 0 & 1 & -1 & 0 \\ 0 & 0 & 0 & 1 \\ 0 & 1 & 0 & 0 \end{bmatrix}$$
(14)

$i = 1, 2$ ، u_i و v_i در معادله (14) بردارهای پایه تشکیل دهنده ماتریس سختی تکیه‌گاه هستند. فرض می‌شود n فرکانس طبیعی سازه نشان داده شده در شکل (1) از آزمایش یا شبیه‌سازی معلوم می‌باشد. فرکانس‌های طبیعی اندازه‌گیری یا شبیه‌سازی شده، باید معادله مشخصه را ارضا نمایند. با جای‌گذاری فرکانس $D(\omega_j)$ را درون رابطه (13) ماتریس (ω_j) می‌توان به شکل زیر مرتب نمود [10]،

$$D(\omega_j) = \hat{D}_s(\omega_j) + k_s u_s v_s^T, \quad s = 1 \text{ or } 2$$
(15)

$$\begin{aligned} & [D(\omega)] \{c\} = \\ & \begin{bmatrix} -\lambda^3 & k_1 & \lambda^3 & k_1 \\ -k_2 & -\lambda & -k_2 & \lambda \\ -\cos(\lambda L) & \sin(\lambda L) & \cosh(\lambda L) & \sinh(\lambda L) \\ -\sin(\lambda L) & -\cos(\lambda L) & \sinh(\lambda L) & \cosh(\lambda L) \end{bmatrix} \begin{Bmatrix} C_1 \\ C_2 \\ C_3 \\ C_4 \end{Bmatrix} \\ & = \begin{Bmatrix} 0 \\ 0 \\ 0 \\ 0 \end{Bmatrix} \end{aligned}$$
(12)

در رابطه (12) $k_1 = \frac{k_\theta}{EI}$ و $k_2 = \frac{k_w}{EI}$ دسته معادلات معرفی شده در رابطه (12) در صورتی دارای جواب غیر صفر می‌باشد که $|D(\omega)| = 0$. این معادله به عنوان معادله مشخصه سازه شناخته می‌شود. با حل معادله مشخصه فرکانس‌های طبیعی به دست می‌آیند. با جای‌گذاری فرکانس‌های طبیعی درون معادله (12) می‌توان ضرایب شکل مود متناظر با هر فرکانس طبیعی را به دست آورد. در ادامه با استفاده از ماتریس $[D(\omega)]$ روشی برای شناسایی پارامترهای شرایط مرزی تیر ارائه می‌شود.

روش شناسایی پارامترهای شرایط مرزی

همان‌گونه که در قسمت قبل عنوان شد با حل معادله مشخصه سازه فرکانس‌های طبیعی به دست می‌آیند. معادله مشخصه تابعی از فرکانس‌های طبیعی و پارامترهای سختی تکیه‌گاه انعطاف‌پذیر می‌باشد. به این موضوع می‌توان از زاویه شناسایی پارامترهای سختی شرایط مرزی تیر به این صورت نگریست که با داشتن تعدادی از فرکانس‌های طبیعی و جای‌گذاری آنها درون معادله مشخصه، از آن جا که فرکانس‌های طبیعی باید معادله مشخصه را ارضا کنند، می‌توان پارامترهای سختی تکیه‌گاه را به دست آورد. روش شناسایی پارامترهای سختی شرایط مرزی در این قسمت ارائه

$$\frac{\partial P}{\partial \{k\}} = \begin{bmatrix} \Gamma_1(\omega_1)(v_1^T \bar{D}_1(\omega_1)^{-1} u_1) & \Gamma_2(\omega_1)(v_2^T \bar{D}_2(\omega_1)^{-1} u_2) \\ \Gamma_1(\omega_2)(v_1^T \bar{D}_1(\omega_2)^{-1} u_1) & \Gamma_2(\omega_2)(v_2^T \bar{D}_2(\omega_2)^{-1} u_2) \\ \vdots & \vdots \\ \Gamma_1(\omega_n)(v_1^T \bar{D}_1(\omega_n)^{-1} u_1) & \Gamma_2(\omega_n)(v_2^T \bar{D}_2(\omega_n)^{-1} u_2) \end{bmatrix} \quad (20)$$

$$P(\{k\}) = \begin{cases} \Gamma_1(\omega_1)(1 + k_1 v_1^T \bar{D}_1(\omega_1)^{-1} u_1) \\ \Gamma_1(\omega_2)(1 + k_1 v_1^T \bar{D}_1(\omega_2)^{-1} u_1) \\ \vdots \\ \Gamma_1(\omega_n)(1 + k_1 v_1^T \bar{D}_1(\omega_n)^{-1} u_1) \end{cases} \quad (21)$$

$$\Gamma_s(\omega_j) = \frac{|\hat{D}_s(\omega_j)|}{|\hat{D}_1(\omega_j)|}, s = 1, 2, j = 1, 2, \dots, n \quad (22)$$

در قسمت بعد با استفاده از فرکانس‌های طبیعی یک سازه شبیه‌سازی شده به تعیین پارامترهای شرایط مرزی پرداخته می‌شود.

شناسایی توسط نتایج شبیه‌سازی

یک سازه تیرمانند با سطح مقطع مستطیلی به ابعاد $1\text{cm} \times 1\text{cm}$ و طول 40cm در نظر گرفته و در نرم‌افزار اجزای محدود ANSYS مدل‌سازی می‌شود. در جهت منظور نمودن اثرات شرایط مرزی، دو بلوك به ابعاد $2\text{cm} \times 2\text{cm} \times 1\text{cm}$ به عنوان تکیه‌گاه به وجوده بالایی و پایینی یک انتهای تیر مطابق شکل (۲) متصل می‌گردد. انتهای دیگر دو بلوك ثابت فرض می‌شود. جنس تیر از آلومینیم با مشخصات مواد جنس بلوك‌ها از لاستیک با خواص مواد $v_{Ru} = 0.45$ و $\rho_{Ru} = 690 \text{ kg/m}^3$, $E_{Ru} = 100 \text{ Mpa}$ در نظر گرفته می‌شود. رفتار بلوك‌های لاستیکی خطی فرض می‌شود. برای مشبندی مدل اجزای محدود از المان solid185 استفاده شده است. با تحلیل مودال مدل اجزای محدود، فرکانس‌های طبیعی مودهای

که در آن،

$$\hat{D}_1(\omega_j) = \bar{D}(\omega_j) + k_2 u_2 v_2^T, \quad j = 1, 2, \dots, n \quad (16)$$

$$\hat{D}_2(\omega_j) = \bar{D}(\omega_j) + k_1 u_1 v_1^T, \quad j = 1, 2, \dots, n \quad (17)$$

طبق معادله مشخصه $|D(\omega_j)| = 0$. بنابراین با دترمینان گرفتن از طرفین رابطه (۱۵)، معادله‌ای بر حسب پارامترهای مجهول شرایط مرزی به شکل زیر به دست می‌آید [11]

$$P_j(k_1, k_2) = P_j(\{k\}) = |\hat{D}_s(\omega_j)| \left(1 + k_s v_s^T \hat{D}(\omega_j)^{-1} u_s \right) = 0, \quad j = 1, 2, \dots, n, s = 1 \text{ or } 2 \quad (18)$$

در رابطه (۱۸) $\{k\} = [k_1, k_2]^T$ بردار پارامترهای مجهول شرایط مرزی می‌باشد. با نوشتن معادله (۱۸) برای همه فرکانس‌های طبیعی اندازه‌گیری یا شبیه‌سازی شده، یک دسته معادله غیرخطی حاکم بر پارامترهای شرایط مرزی به شکل $P(\{k\}) = 0$ به دست می‌آید، که در آن $P = [P_1, P_2, \dots, P_n]^T$. به منظور تعیین پارامترهای مجهول می‌توان دسته معادلات غیرخطی را به صورت عددی حل نمود. با فرض مقادیری اولیه برای پارامترهای مجهول شرایط مرزی و خطی‌سازی معادلات غیرخطی می‌توان پارامترهای مجهول را در یک فرآیند تکرار به دست آورد. بردار پارامترهای مجهول در مرحله تکرار $i+1$ از رابطه $\{k\}^{i+1} = \{k\}^i + \{\delta k\}^i$ به دست می‌آید که در آن

[10]

$$\{\delta k\}^i = - \left(\frac{\partial P}{\partial \{k\}} \right)^{-1} P(\{k\}^i) \quad (19)$$

در رابطه (۱۹)،

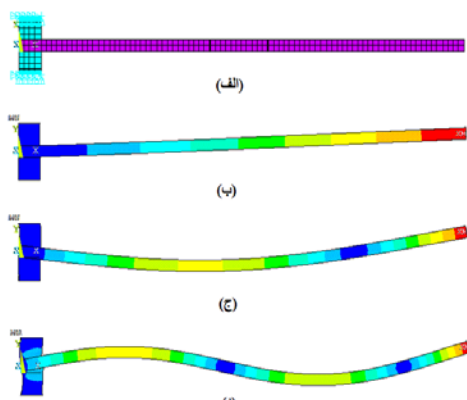
جدول ۱ مقایسه فرکانس‌های طبیعی (Hz) برای نتایج شبیه‌سازی

مود ۴	مود ۳	مود ۲	مود ۱	
۱۹۳۹/۵۳	۹۹۵/۲۴	۳۵۶/۸۲	۵۷/۰۷	شبیه‌سازی (صلب)
۱۳۷۸/۲	۶۹۴/۲۴	۲۲۷/۷۸	۲۴/۴۱	شبیه‌سازی ($\rho_{Ru} \neq 0$)
۱۳۸۴/۹	۶۹۴/۷۳	۲۲۷/۸	۲۴/۴۱	شبیه‌سازی ($\rho_{Ru} = 0$)
۱۲۳۴/۸	۶۷۰/۲۴	۲۳۰/۴۳	۲۴/۴۰	شناسایی خطای (%)
-۱۰/۴۱	-۳/۴۶	۱/۱۶	-۰/۰۲	

با جای‌گذاری فرکانس‌های طبیعی حاصل از تحلیل اجزای محدود (برای حالت $\rho_{Ru} \neq 0$) درون معادلات (۱۸-۲۲) و حل معادله (۱۹) به صورت تکرار، پارامترهای شرایط مرزی شناسایی می‌شوند. برای این منظور با انتخاب یک دسته مقادیر اولیه برای پارامترها ($k_{\theta 0} = 1000 \text{ Nm/rad}$ و $k_{w0} = 1 \times 10^8 \text{ N/m}$) و حل معادله (۱۹) در تعداد تکرارهای مختلف، پارامترهای شرایط مرزی به دست می‌آیند. نمودار تغییرات تابع هدف یعنی $\|(\{k\})P\|$ و همچنین پارامترهای شرایط مرزی در طول فرآیند شناسایی در شکل (۳) نشان داده شده است. پس از ۵۰ مرحله تکرار تابع هدف به سمت صفر همگرا می‌شود و پارامترهای شرایط مرزی به دست می‌آیند. پارامترهای شرایط مرزی به دست آمده برای تکیه‌گاه انعطاف‌پذیر به ترتیب برابر با $k_{\theta} = 175.229 \text{ Nm/rad}$ و $k_w = 5.829 \times 10^5 \text{ N/m}$ می‌باشند. برای بررسی دقیق مدل شناسایی شده، فرکانس‌های طبیعی آن با فرکانس‌های طبیعی سازه واقعی باهم مقایسه می‌شوند. این مقایسه در جدول (۱) انجام شده است. خطای قابل قبول بین دو دسته از فرکانس‌های طبیعی (مدل شناسایی شده و مدل شبیه‌سازی شده) نشان‌دهنده دقیق مدل شناسایی شده است. در قسمت بعد روشی تخمینی از پارامترهای سختی تکیه‌گاه انعطاف‌پذیر به دست آمده و با مقایسه سختی شناسایی شده برای شرایط مرزی مقایسه می‌شوند.

خمشی آن استخراج می‌شوند. فرکانس‌های طبیعی مودهای خمشی در جدول (۱) و تعدادی از شکل مودها در شکل (۲) قابل مشاهده می‌باشند.

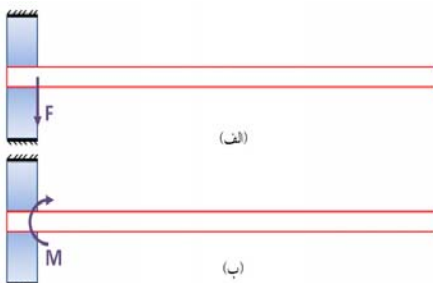
برای بررسی اثرات اینرسی تکیه‌گاه انعطاف‌پذیر روی فرکانس‌های طبیعی و شکل مودهای سازه، تحلیل مodal مدل اجزای محدود با بی جرم فرض نمودن بلوك‌های لاستیکی ($\rho_{Ru} = 0$) نیز انجام می‌شود. در جدول (۱) فرکانس‌های طبیعی برای حالت با و بدون جرم بودن بلوك‌های لاستیکی با هم مقایسه شده‌اند. همان‌گونه که فرکانس‌های طبیعی نشان می‌دهند، اثرات جرمی بلوك‌های لاستیکی بسیار ناچیز و قابل صرف‌نظر نمودن می‌باشد. از این‌رو تحلیل دینامیکی انجام‌شده در قسمت‌های قبل با فرض ناچیز بودن اثرات اینرسی بلوك‌های جرمی قابل اعتبار است و در ادامه برای شناسایی پارامترهای شرایط مرزی مورد استفاده قرار می‌گیرد. هم‌چنین به منظور بررسی اثر انعطاف‌پذیری بلوك‌ها (تکیه‌گاه‌های) لاستیکی روی فرکانس‌های طبیعی تیر، در جدول (۱) فرکانس‌های طبیعی تیر با شرایط مرزی صلب نیز ارائه شده است. همان‌گونه که نتایج فرکانس‌های طبیعی نشان می‌دهد، پس از استفاده از بلوك‌های لاستیکی به دلیل ایجاد انعطاف‌پذیری در تکیه‌گاه تیر، فرکانس‌های طبیعی به شدت کاهش می‌یابند.



شکل ۲ مدل اجزای محدود تیر با تکیه‌گاه انعطاف‌پذیر (الف)، سه شکل مود خمشی اول (ب-د)

(جایه جایی) زاویه‌ای محل اثر گشتاور Θ تعیین می‌شود. با فرض رابطه خطی $M = k_\theta \Theta$ بین گشتاور اعمالی و تغییرشکل زاویه‌ای سختی پیچشی تکیه‌گاه انعطاف‌پذیر به دست می‌آید. لازم بذکر است چون امکان اعمال گشتاور به المان solid185 وجود ندارد، گشتاور M با استفاده از یک زوج نیرو شبیه‌سازی شده است.

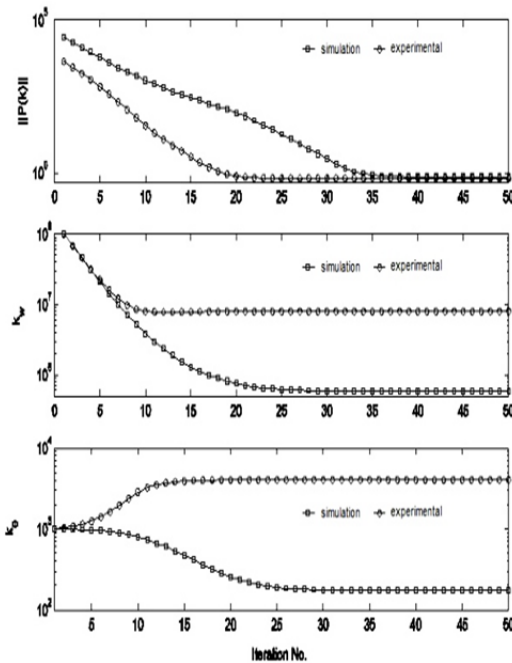
نتایج تحلیل استاتیکی (کانتور جایه جایی) به منظور تخمین k_w در شکل (۵) ارائه شده است. در جدول (۲) مقادیر ضرایب سختی تخمینی و شناسایی شده باهم مقایسه شده‌اند. همان‌گونه که نتایج ارائه شده در جدول (۲) نشان می‌دهد روش شناسایی ارائه شده به خوبی قادر به تعیین پارامترهای سختی تکیه‌گاه با استفاده از فرکانس‌های طبیعی سازه می‌باشد. در مورد اختلاف موجود بین مقادیر سختی شناسایی شده و تخمینی باید به این نکته توجه نمود، که در مدل دینامیکی که براساس آن پارامترهای تکیه‌گاه شناسایی شده‌اند، اثر تکیه‌گاه انعطاف‌پذیر تیر در یک نقطه به صورت فنرهای خطی و پیچشی مدل‌سازی شده است. در حالی که در سازه واقعی (مدل اجزای محدود) تکیه‌گاه انعطاف‌پذیر در یک محدوده طولی (در این مثال ۲ cm) قرار می‌گیرد و دینامیک سازه را تحت تأثیر قرار می‌دهد. بنابراین اختلاف بین فرکانس‌های طبیعی که در جدول (۱) گزارش شده است و اختلاف بین پارامترهای سختی تکیه‌گاه ارائه شده در جدول (۲) را می‌توان به اثر توزیعی تکیه‌گاه در مدل اجزای محدود و اثر نقطه‌ای تکیه‌گاه در مدل دینامیکی نسبت داد.



شکل ۴ نحوه اعمال نیرو و گشتاور برای تخمین پارامترهای سختی تکیه‌گاه

ارزیابی صحت پارامترهای شناسایی شده

در این قسمت به بررسی صحت پارامترهای سختی شناسایی شده برای تکیه‌گاه سازه تیرمانند پرداخته می‌شود. برای انجام این کار باید تخمینی از پارامترهای سختی تکیه‌گاه به دست آورد. تخمین پارامترهای سختی تکیه‌گاه را می‌توان با انجام تحلیل‌های استاتیکی به روشه که در ادامه تشریح می‌شود به دست آورد.



شکل ۳ تغییرات تابع هدف و پارامترهای شرایط مرزی در فرآیند شناسایی، شبیه‌سازی (□) و تجربی (○).

به منظور تعیین k_w نیروی F مطابق شکل (۴-الف) به سازه در محل تکیه‌گاه وارد و با تحلیل استاتیکی مدل اجزای محدود تغییر شکل (جایه جایی) عمودی محل اثر نیرو (Δ) تعیین می‌شود. تعیین به رفتار خطی مدل اجزای محدود می‌توان فرض نمود $F = k_w \Delta$ و با استفاده از این رابطه تخمینی از سختی نرمال تکیه‌گاه انعطاف‌پذیر در محل اعمال نیرو به دست آورد. به صورت مشابه، جهت تعیین k_θ گشتاور M مطابق شکل (۴-ب) به سازه در محل تکیه‌گاه وارد و با تحلیل استاتیکی مدل اجزای محدود تغییر شکل

= 0.45 فرض می‌شوند. نتایج نهایی در جدول‌های (۳ و ۴) ارائه شده‌اند. مقادیر تخمینی سختی تکیه‌گاه با مقادیر شناسایی شده در جدول (۳) مقایسه شده‌اند.

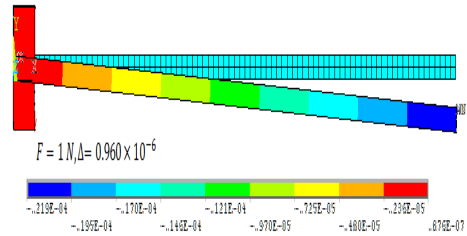
جدول ۳ مقایسه ضرایب سختی تخمینی و شناسایی شده

k_θ (Nm/rad)	k_w (N/m)	
حالت اول		
347.3	1.63×10^6	مقادیر تخمینی
345.52	8.14×10^5	مقادیر شناسایی
حالت دوم		
1.28×10^3	7.7×10^6	مقادیر تخمینی
1.54×10^3	2.32×10^6	مقادیر شناسایی
حالت سوم		
2.37×10^3	2.06×10^7	مقادیر تخمینی
3.75×10^3	5.16×10^6	مقادیر شناسایی

در جدول (۴) فرکانس‌های طبیعی حاصل از مدل اجزای محدود و حاصل از مدل شناسایی شده برای حالت‌های سه‌گانه فوق‌الذکر باهم مقایسه شده‌اند.

جدول ۴ مقایسه فرکانس‌های طبیعی شبیه‌سازی و شناسایی

مود ۴	مود ۳	مود ۲	مود ۱	
حالت اول				
1434.6	715.66	239.56	31.029	شبیه‌سازی
1305.6	697.42	241.9	31.036	شناسایی
-8.99	-2.55	0.98	0.024	(%) خطا
حالت دوم				
1542.67	784.35	277.51	43.468	شبیه‌سازی
1491.2	778.96	278.71	43.476	شناسایی
-3.34	-0.69	0.43	-0.017	(%) خطا
حالت سوم				
1621.33	830.97	297.47	47.487	شبیه‌سازی
1600.6	829.26	298.02	47.483	شناسایی
-1.3	-0.21	0.18	-0.008	(%) خطا



شکل ۵ کانتور جابه‌جاوی تیر بر اثر اعمال نیرو در محل تکیه‌گاه

جدول ۲ مقادیر سختی تخمینی و شناسایی شده

برای تکیه‌گاه انعطاف‌پذیر

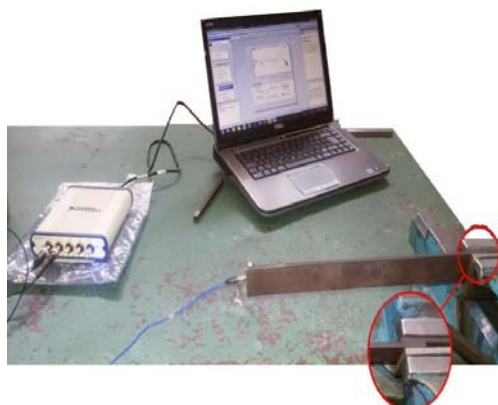
k_θ (Nm/rad)	k_w (N/m)	
181.96	8.19×10^5	مقادیر تخمینی
175.229	5.829×10^5	مقادیر شناسایی

در قسمت بعد به بررسی اثر سختی تکیه‌گاه انعطاف‌پذیر روی نتایج شناسایی شده پرداخته می‌شود.

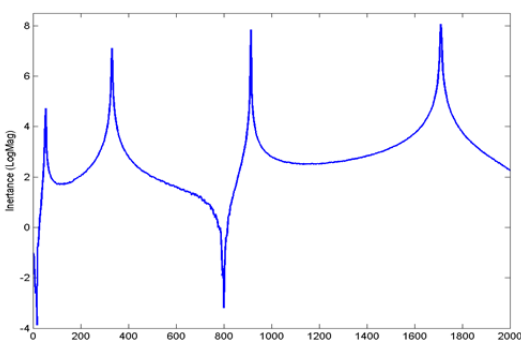
بررسی اثر سختی تکیه‌گاه انعطاف‌پذیر

سختی (مدول الاستیسیته) تکیه‌گاه انعطاف‌پذیر ممکن است نتایج شناسایی را تحت تأثیر قرار دهد. در این قسمت به بررسی اثر سختی تکیه‌گاه انعطاف‌پذیر روی نتایج شناسایی شده پرداخته می‌شود. برای این منظور سه مقدار مختلف برای مدل الاستیسیته بلوك‌های قرار گرفته به جای تکیه‌گاه انعطاف‌پذیر در نظر گرفته می‌شود و پس از تحلیل مودال و تعیین فرکانس‌های طبیعی، به شناسایی پارامترهای سختی تکیه‌گاه پرداخته می‌شود. همچنین تخمین پارامترهای سختی تکیه‌گاه باستفاده از روش ارائه شده در قسمت قبل نیز بدست می‌آیند و با مقادیر شناسایی شده مقایسه می‌شوند. مقادیر مدل الاستیسیته در نظر گرفته شده برای بلوك‌های قرار گرفته به جای تکیه‌گاه الاستیک در مدل اجزای محدود به ترتیب $E_1 = 200$ Mpa (حالت اول)، $E_2 = 1$ Gpa (حالت دوم) و $E_3 = 3$ Gpa (حالت سوم) در نظر گرفته می‌شود. چگالی و مدل یانگ برای همه حالت‌ها برابر با $\rho = 690$ kg/m³ است.

و در انتها پردازش توسط نرم افزار لب ویو نمودارهای پاسخ فرکانسی اندازه گیری می شوند. با استفاده از نمودارهای پاسخ فرکانسی فرکانس های طبیعی استخراج می شوند. آرایش انجام آزمایش در شکل (۶) نشان داده شده است. شکل (۷) نمونه ای از نمودارهای پاسخ فرکانسی اندازه گیری شده را نشان می دهد. فرکانس های طبیعی حاصل از نمودارهای پاسخ فرکانسی در جدول (۵) ارائه شده اند.



شکل ۶ آرایش انجام آزمایش



شکل ۷ نمودار پاسخ فرکانسی

جدول ۵ مقایسه فرکانس های طبیعی (Hz) برای نتایج تجربی

مود ۴	مود ۳	مود ۲	مود ۱	
۲۱۰۳/۳	۱۰۷۳/۶	۳۸۳/۳۸	۶۱/۲۰۳	تکیه گاه صلب
۱۸۳۲	۹۲۴	۳۲۹	۵۲	تجربی
۱۷۱۰/۴	۹۱۳/۲۷	۳۳۱/۲۹	۵۲	شناسایی
-۶/۶۴	-۱/۱۶	۰/۶۹	-۰/۰۱	خطا (%)

نتایج ارائه شده در جدول های (۳ و ۴) نشان می دهد که تغییر سختی تکیه گاه تأثیر چندانی روی نتایج شناسایی شده ندارد. به عبارت دیگر روش مورد استفاده در این مقاله قادر به شناسایی پارامترهای سختی معادل شرایط مرزی سازه های تیزمانند برای بازه وسیعی از مدلول الاستیستیت تکیه گاه انعطاف پذیر می باشد. در قسمت بعد به ارزیابی دقیق روش مورد استفاده در این مقاله با استفاده از نتایج تجربی پرداخته می شود.

شناسایی توسط نتایج تجربی

در این قسمت با استفاده از نتایج تجربی به شناسایی پارامترهای شرایط مرزی یک تیر دارای تکیه گاه انعطاف پذیر پرداخته می شود. تیری فولادی به ابعاد سطح مقطع $3\text{cm} \times 0.6\text{cm}$ و طول 28.3cm توسط دو قطعه فولادی به ابعاد $3\text{cm} \times 3\text{cm} \times 0.6\text{cm}$ مطابق شکل (۶) به تکیه گاه متصل می شود. قطعات فولادی استفاده شده در تکیه گاه، ایجاد یک تکیه گاه غیرصلب می کنند که در این قسمت هدف شناسایی پارامترهای سختی معادل خطی و پیچشی متناظر با تکیه گاه تیر با استفاده از تئوری تشریح شده در قسمت های قبلی و به کمک فرکانس های طبیعی می باشد. خواص مواد تیر فولادی به صورت $\rho_{st} = 7828 \text{ kg/m}^3$, $E_{st} = 200 \text{ Gpa}$ در نظر گرفته می شود.

برای اندازه گیری فرکانس های طبیعی از آزمایش مodal تجربی استفاده می شود. برای این منظور، تیر با استفاده از یک چکش مodal در یک نقطه تحریک می شود. نیروی اعمالی به تیر و پاسخ دینامیکی آن به ترتیب با استفاده از نیرو سنج قرار گرفته روی چکش و شتاب سنج نصب شده در نوک تیر اندازه گیری می شود. شتاب سنج و نیرو سنج مورد استفاده ساخت شرکت Kistler می باشد. با انتقال سیگنال های نیرو و شتاب به یک کارت داده برداری مدل NI USB-4432

حاصل از مدل شناسایی شده با سازه اصلی با دقت قابل قبولی به هم نزدیک باشند، مقادیر سختی شناسایی شده نیز به مقادیر سختی واقعی نزدیک می‌باشند. مقایسه نتایج ارائه شده در جدول‌های (۱-۳) نشان می‌دهند که روش مورد استفاده در تعیین پارامترهای شرایط مرزی موفق بوده است.

نتیجه‌گیری

در این مقاله به شناسایی پارامترهای شرایط مرزی برای تیرهایی که به صورت غیرصلب به تکیه‌گاه متصل شده‌اند پرداخته شده است. برای این منظور یک روش شناسایی بر پایه استفاده از فرکانس‌های طبیعی در معادله مشخصه دینامیکی معرفی می‌شود. با مینیمم نمودن نرم بردار معادلات مشخصه به ازای فرکانس‌های طبیعی در مراحل تکرار مختلف، پارامترهای شرایط مرزی به دست می‌آیند. دقت روش شناسایی بالاستفاده از نتایج تجربی و شبیه‌سازی شده ارزیابی شده است. نتایج شناسایی نشان می‌دهد که روش مورد استفاده دقت لازم برای تعیین پارامترهای شرایط مرزی را دارد. هم‌چنان اثر تغییرات سختی تکیه‌گاه انعطاف‌پذیر روی مقادیر شناسایی شده برای شرایط مرزی نیز مورد بررسی قرار گرفت.

فهرست عالم

E	مدول الاستیسیته Pa
k_w	سختی فنر خطی N/m
k_θ	سختی فنر پیچشی Nm/rad
A	سطح مقطع m ²
علام یونانی	
ρ	چگالی Kg/m ³
v	ضریب پواسون
ω	فرکانس طبیعی Hz

به منظور ارزیابی میزان تأثیر تکیه‌گاه انعطاف‌پذیر روی فرکانس‌های طبیعی، فرکانس‌های طبیعی یک تیر یک سرگیردار (تکیه‌گاه صلب) با مشخصات هندسی و خواص مواد مشابه سازه آزمایشی به صورت تئوری محاسبه و در جدول (۵) با فرکانس‌های طبیعی سازه واقعی (با تکیه‌گاه انعطاف‌پذیر) مقایسه شده است. همان‌گونه که جدول (۵) نشان می‌دهد انعطاف‌پذیری ایجادشده در تکیه‌گاه سازه واقعی توسط بلوک‌های فولادی باعث کاهش فرکانس‌های طبیعی آن نسبت به یک سازه گیردار شده است. لازم به ذکر است که فرکانس‌های طبیعی تیر با تکیه‌گاه صلب از حل معادله مشخصه آن یعنی $\cos(\lambda L) \cosh(\lambda L) + 1 = 0$ به دست می‌آید.

برای شناسایی پارامترها از روابط ارائه شده در بخش روش شناسایی پارامترهای شرایط مرزی استفاده می‌شود. با درنظر گرفتن یک دسته مقادیر اولیه برای پارامترهای سختی شرایط مرزی ($k_{\theta 0} = 1000 \text{ Nm/rad}$ و $k_{w0} = 1 \times 10^8 \text{ N/m}$) و جای‌گذاری فرکانس‌های طبیعی حاصل از آزمایش درون روابط (۱۸-۲۲) و حل معادله (۱۹) به صورت تکرار، پارامترهای شرایط مرزی به صورت $k_\theta = 4060.7 \text{ Nm/rad}$ و $k_w = 7.983 \times 10^6 \text{ N/m}$ شناسایی می‌شوند. تغییرات تابع هدف و پارامترهای تکیه‌گاه در فرآیند شناسایی در شکل (۳) نشان داده شده است. فرکانس‌های طبیعی حاصل از مدل شناسایی شده با فرکانس‌های طبیعی آزمایش در جدول (۳) مقایسه شده‌اند. با توجه به این‌که مقادیر واقعی پارامترهای تکیه‌گاه برای سازه نشان داده شده در شکل (۶) در دسترس نمی‌باشد، برای بررسی دقت پارامترهای شناسایی شده تنها به مقایسه فرکانس‌های طبیعی بستنده می‌شود. زیرا همان‌گونه که برای سازه شبیه‌سازی شده نشان داده شد، در صورتی که فرکانس‌های طبیعی

مراجع

1. Guo, T., Li, L., Cai, L. and Zhao, Y., "Alternative method for identification of the dynamic properties of bolted joints", *Mechanical Science and Technology*, Vol. 26, No. 10, pp. 3017-3027, (2012).
2. Valle, J.L.Z., Blasco, J.A., Martinez, M.P.G., Gimeno, J.M.F. and Dieguez, M.G., "Modelling and calibration of a beam-column joint based on modal data", *Computers and Structures*, Vol. 108-109, pp. 31-41, (2012).
3. Gant, F., Rouch, P., Louf, F. and Champaney, L., "Definition and updating of simplified models of joint stiffness", *Solids and Structures*, Vol. 48, pp. 775-784, (2011).
4. Tol, S. and Ozguven, H.N., "Dynamic characterization of bolted joints using FRF decoupling and optimization", *Mechanical Systems and Signal Processing*, Vol. 54-55, pp. 124-138, (2015).
5. Cao, H., Li, B. and He, Z., "A joint stiffness identification method based on finite element modeling and frequency response functions", *Vibroengineering*, Vol. 14, Issue. 2, pp. 611-620, (2012).
6. Hwang, H.Y., "Identification techniques of structure connection parameters using frequency response functions", *Sound and Vibration*, Vol. 212, No. 3, pp. 469-479, (1998).
7. Zhang, B., Waters, T.P. and Mace, B.R., "Identifying joints from measured reflection coefficients in beam-like structures with application to a pipe support", *Mechanical Systems and Signal Processing*, Vol. 24, pp. 784-795, (2010).
8. Ahmadian, H., Mottershead, J.E. and Friswell, M.I., "Boundary condition identification by solving characteristic equations", *Sound and vibration*, Vol. 247, No. 5, pp. 755-763, (2001).
9. Li, W.L., "A new method for structural model updating and joint stiffness identification", *Mechanical Systems and Signal Processing*, Vol. 16, No. 1, pp. 155-167, (2002).
10. Jalali, H., "Linear contact interface parameter identification using dynamic characteristic equation", *Mechanical Systems and Signal Processing*, Vol. 66-67, pp. 111-119, (2016).
11. Harville, D.A., "Matrix Algebra from a Statistician's Perspective", Springer-Verlag publication. Inc., New York, pp. 1-11, (1997).